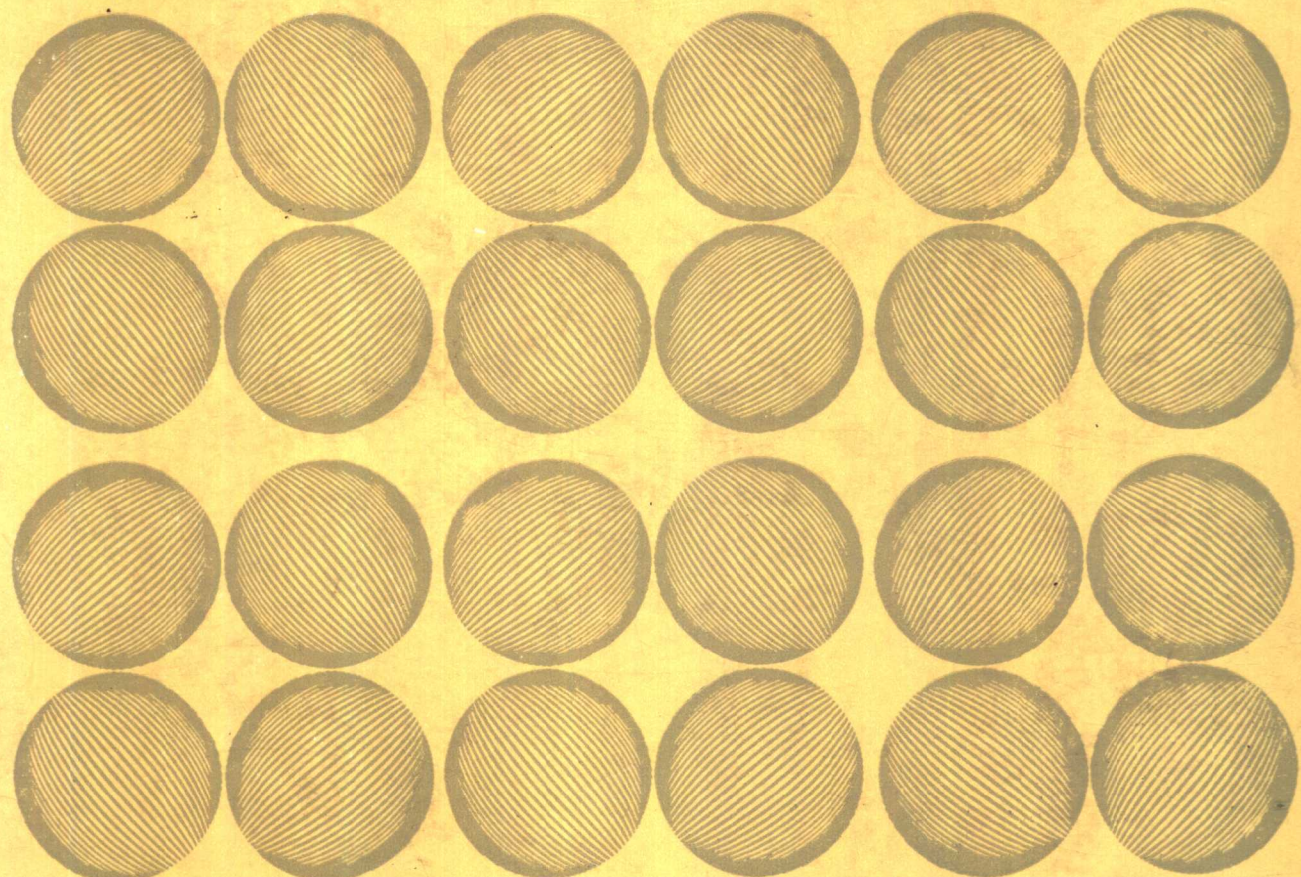


电子元器件

参数计量测试大全



電子工業出版社

电子元器件参数计量测试大全

《电子元器件参数计量测试大全》编委会

责任编辑：杜振民 张怀君

电子工业出版社出版(北京海淀区万寿路)

新华书店北京发行所发行 各地新华书店经售

中国科学院印刷厂印刷

开本：787×1092毫米1/16 印张：74字数：2200千字

1989年9月第1版 1989年9月第1次印刷

印数：1—7850册 定价：58元

ISBN 7—5053—0430—5/TN·153

《电子元器件参数计量测试大全》

编 审 委 员 会

主任委员

谢 光 国防科学技术工业委员会副主任

副主任委员

程光辉	机械电子工业部质量安全司司长
古干清	原电子工业部标准质量司副司长
鲁绍曾	国家技术监督局副局长
宋永林	国家技术监督局科技委主任
刘洪崑	机械电子工业部科学技术司副司长
吴源俊	中国电子技术标准化研究所所长
陆承麟	电子工业出版社副总编

《电子元器件参数计量测试大全》

编委会及工作人员

主 编 常新华 郭群芳 季恒宽

副主编 吴 听 李延昌 杜振民

委 员 (以姓氏笔划为序)

马道蓉 王全英 王建华 包良成
白锡祯 朱宏忠 李延昌 李旭进
季恒宽 吴 青 吴 听 杜振民
杜洪富 陈 渭 易本健 郑延秋
张德明 张宝铭 张景源 张怀君
赵 基 赵玉惠 赵继业 贺令乐
贾树清 席德熊 郭成中 郭群芳
龚兰芳 曹豫河 常新华 黄策斌
韩吟海 蔡仁明 童本敏 裘 新
谭福有 黎成林

责任编辑 杜振民 张怀君

装帧设计 张凤鹏

前　　言

在国防科工委、机械电子工业部、国家技术监督局的指导下，中国电子技术标准化研究所与有关研究所、工厂共同组成了《电子元器件参数计量测试大全》编委会。编委会具体组织了近百个单位的专家、工程技术人员，根据国内外的技术标准、军用标准文本中的有关资料，在综合分析研究我国现有电子元器件的参数及测试方法的基础上，编写了这部《电子元器件参数计量测试大全》。

本书系统地介绍了我国目前生产的27个大类的电子元器件的2700多个参数的名称、符号、定义和参数的来源，以及这些参数的计量测试方法或测试原理图。还介绍了测试这些参数所用的仪器，以及有关计量检定规程体系和计量测试服务能力等情况。本书力图把电子元器件参数的技术标准、计量测试和质量管理紧密地结合起来，为各级技术保障部门和科研、生产、使用单位提供可靠的技术依据和信息，以利于深化标准、计量和质量管理工作。

本书是目前在电子元器件参数计量测试方面的一部门类齐全、参数完备、检测规范、应用广泛的大型工具书，它是所有涉及到电子元器件的科研、生产、管理、使用、教学单位的重要技术文献。

鉴于本书涉及到的电子元器件门类非常广，专业性又强，加之编写时间紧迫，不妥之处恳请读者批评指正。

编写说明

1. 电子元器件的范围和分类，至今仍是个众说纷纭的问题，需要进一步研究。本书把几乎所有可能列入电子元器件范畴的均纳入进来，主要考虑是要使本书反映的内容全面一些。其分类也几经讨论，既有一致的方面，也有分歧，最后考虑到编写的方便，暂定分为27类。这样分类就出现了一个各章之间畸轻畸重的问题。在此说明是为了引起注意，以便今后对电子元器件的范畴及分类作更深入、更科学的研究。

2. 电子元器件的参数是十分浩繁的，本书仅编入了常用的电性能参数，对于电子元器件的设计参数、工艺参数、结构参数、可靠性参数均未编入。在常用电性能参数中，其侧重点是放在生产、使用中必须测试的参数（其中一部分为商品参数），这些参数在质量保证体系中具有重要作用。有些电性能参数虽然经常见到，但生产、使用中很少测试或很容易测试，对于这部分参数本书未全部收入，其中一部分参数名称列入每章节附录供参考。

3. 参数的名称和符号是根据现有国内外标准、资料编写的，一个参数如有多个名称符号，则取其常用的一种为代表，其它名称、符号用括号标注置于其后。无参数符号的用一横表示。

4. 参数定义绝大部分来自国内外的标准，如果一个参数有多种定义方法，先依据国家标准、机械电子工业部标准确定，实在不能统一的，则分别列出。有些参数无定义，其中有些用测试目的来阐述，有些由编委会按目前通常的说法编定。

5. 参数的测试方法，凡有多种测试方法的一般都收入本书，供读者选用。有些章节和参数，只给出了参数测试原理图，这主要是有些参数的测试方法很简单，按原理图即可进行测试；有些参数测试方法涉及面广，本书的内容包容不下，读者可参阅有关技术资料；有些参数是用专用测试系统进行测试的。一部分参数的测试方法尚待研究。

6. 本书所引用的资料，有的在每节前面予以说明，有的在参数测试方法后标注，若参数定义和测试方法引自不同资料则分别标出。本书有些内容引自国家标准报批稿，读者使用本书时，请注意参照正式国家标准。

7. 参数测试所用的主要仪器，是根据目前科研、生产单位实际采用的仪器编写的。主要测试仪器的量程范围、精度级别在各章节中第一次出现时均予列出，重复出现时，就只列仪器名称。

参数目录

(上 卷)

1 半导体分立器件参数

1.1 整流二极管参数

反向峰值电流 I_{RM}	(3)
正向(不重复)浪涌电流 I_{FSM}	(4)
反向直流电流 I_R	(5)
反向恢复电流 i_{RR}	(5)
反向平均电流 $I_{R(AV)}$	(6)
击穿电压 $V_{(BR)}$	(6)
反向不重复峰值电压 V_{RSM}	(7)
正向直流电压 V_F	(7)
正向平均电压 $V_{F(AV)}$	(8)
正向峰值电压 V_{FM}	(9)
正向恢复电压 V_{FR}	(9)
恢复电荷 Q_r	(9)
瞬态热阻抗 $Z_{th(t)}$	(10)
热阻 R_{th}	(10)
反向功率耗散 P_R	(11)

1.2 小功率信号二极管、稳压及基准电压

二极管参数

1.2.1 小功率信号二极管参数

正向直流电压 V_F	(15)
击穿电压 $V_{(BR)}$	(15)
正向恢复峰值电压 V_{FRM}	(15)
正向恢复电压 V_{FR}	(16)
正向瞬态电压 $V_{(tr)}$	(16)
反向直流电流 i_R	(17)
电压检波效率 η_V	(17)
功率检波效率 η_P	(17)
总电容 C_{tot}	(18)
正向恢复时间 t_{fr}	(18)
反向恢复时间 t_{rr}	(18)
恢复电荷 Q_r	(20)
噪声电压 V_{rms}	(20)
噪声电流 I_n	(21)

1.2.2 基准电压二极管、稳压二极管参数

工作电压 V_z	(21)
正向电压 V_F	(22)
噪声电压 V_n	(22)

工作电压的漂移 ΔV_z (23)

工作电压的调整率 $V_{z(\text{reg})}$ (23)

反向浪涌电流 I_{ZSM} (23)

反向电流 I_R (24)

结电容 C_j (24)

工作电压的温度系数 α_{Vz} (25)

微分电阻 r_z (26)

热阻 R_{th} (27)

1.2.3 电流调整二极管参数

调整电流变化量 ΔI_S	(27)
调整电流 I_S	(27)
极限电压 V_L	(27)
击穿电压 $V_{(BR)}$	(28)
调整电流的温度系数 α_{IS}	(28)
动态阻抗 Z_d	(28)

1.2.4 双基极二极管参数

基极间电阻 r_{BB}	(29)
发射极与第一基极间反向电流 I_{EB10}	(29)
饱和压降 V_{EB1}	(29)
峰点电流 I_p	(29)
调制电流 I_{BS}	(30)
谷点电压 V_v	(30)
谷点电流 I_v	(30)
分压比 η_v	(31)

1.3 微波二极管参数

峰点电压 V_p	(34)
峰点电流 I_p	(35)
投影峰点电压 V_{PP}	(35)
谷点电压 V_v	(35)
谷点电流 I_v	(35)
谷点端电容 C_{tot}	(35)
管壳电容 C_s	(36)
串联电感 L_s	(36)
负电导 g'	(37)
直流串联电阻 r_{so}	(38)
微波频率下的 串联电阻 r_{ss}	(39)

2 电子元器件参数计量测试大全

开关时间 t_s (40)	载流子寿命 τ (60)	
1.3.2 变容二极管参数		热阻 R_{th}	 (61)
反向电流 I_R (42)	1.3.6 雪崩二极管参数		
击穿电压 $V_{(BR)}$ (42)	击穿电压 $V_{(BR)}$ (61)	
正向电压 V_F (43)	反向电流 I_R (62)	
正向微分电阻 r_F (43)	端电容 $C_{t_{on}}$ (62)	
结电容-偏压特性 $C_{tot}-V_B$ (43)	热阻 R_{th} (62)	
电容跟踪误差 - (44)	输出功率 P_o (63)	
串联电感 L_s (45)	输出频率 f_o (63)	
品质因数 Q (45)	频谱纯度 - (63)	
电容变化指数 n (50)	效率 η (63)	
电容温度系数 α_c (50)	1.3.7 混频和检波二极管参数		
中心电压 V (51)	正切信号灵敏度 TSS (63)	
1.3.3 阶跃恢复二极管参数		电压灵敏度 S_v (64)	
反向击穿电压 $V_{(BR)}$ (51)	总电容 C_{tot} (64)	
反向电流 I_R (51)	中频阻抗 Z_i (64)	
正向电压 V_F (51)	视频阻抗 Z_v (65)	
正向微分电阻 r_F (52)	电压驻波比 S_v (66)	
端电容 C_{tot} (52)	变频损耗 L_c (67)	
串联电感 L_s (52)	烧毁能量 E_M (68)	
正向串联电阻 r_{FB} (52)	输出噪声比 N_r (68)	
有效少数载流子寿命 τ (53)	正向电流 I_F (70)	
阶跃时间 T_s (53)	反向电流 I_R (70)	
瞬态热阻抗 R_{th} (54)	整流电流 I_{rec} (70)	
倍频效率 η (55)	总噪声系数 F (71)	
输出功率 P_o (56)	电流灵敏度 S_I (72)	
1.3.4 体效应二极管参数		频响特性 - (73)	
低场电阻 R_o (56)	1.4 光电子器件参数		
阈值电压 V_{ro} (56)	1.4.1 发光器件参数		
阈值电流 I_{ro} (57)	正向电压 V_F (76)	
脉冲击穿电压 $V_{(BR)}$ (57)	击穿电压 $V_{(BR)}$ (76)	
热阻 R_{th} (57)	正向电流 I_F (77)	
输出功率 P_o (58)	反向电流 I_R (77)	
输出频率 f_o (58)	阈值电流 $I_{th} = I_{(ro)}$ (77)	
效率 η (58)	微分电阻 R_d (78)	
频谱纯度 - (58)	消光比 ξ (78)	
1.3.5 PIN二极管参数		外微分量子效率 η_d (79)	
击穿电压 $V_{(BR)}$ (58)	输出光功率 P (79)	
端电容 C_{tot} (59)	光通量 ϕ_F (79)	
正向微分电阻 r_F (59)	峰值发射波长 λ_p (80)	
串联电阻 R_s (59)	光谱辐射带宽 $\Delta\lambda$ (80)	
反向恢复时间 t_{rr} (59)	纵模数 η_m (80)	

法向光强 I_v	(81)	结电容 C_i	(92)
半强度角 $\theta_{1/2}$	(82)	上升时间 t_r	(92)
结电容 C_j	(83)	下降时间 t_f	(92)
相对强度噪声 RIN	(83)	延迟时间 t_d	(92)
截止频率 f_c	(83)	存储时间 t_s	(92)
延迟时间 t_d	(84)	1.5 阀流晶体管参数	
上升时间 t_r	(84)	断态不重复峰值电压 V_{DSM}	(95)
开启时间 t_{on}	(84)	断态重复峰值电压 V_{DRM}	(95)
存储时间 t_s	(84)	直流转折电压 $V_{(BO)}$	(95)
下降时间 t_f	(84)	通态直流电压 V_T	(96)
关断时间 t_{off}	(84)	反向不重复峰值电压 V_{BSM}^*	(96)
1.4.2 光敏器件参数		反向重复峰值电压 V_{BRM}^*	(96)
正向电压 V_p	(85)	反向击穿电压 $V_{(BR)}^*$	(97)
反向击穿电压 $V_{(BR)}$	(85)	通态平均电压 $V_{T(AV)}$	(97)
雪崩击穿电压 (雪崩 光敏二极管) $V_{A(BB)}$	(85)	通态峰值电压 V_{TM}	(97)
光电流 I_L	(86)	断态直流电流 I_D	(98)
暗电流 I_B	(86)	断态重复峰值电流 I_{DSM}	(99)
照射下的反向电流 $I_{B(H)}, I_{B(s)}$	(86)	断态重复平均电流 $I_{DB(AV)}$	(99)
倍增因子 (雪崩光敏二极管) M	(87)	管壳非破坏 I^{st} 值	(100)
响应度 (雪崩光敏二极管) S_d, R_e	(87)	断态不重复平均电流 $I_{DS(AV)}$	(101)
噪声等效功率 (雪崩光敏二极管) P_n	(88)	通态平均电流 $I_{T(AV)}$	(101)
光谱响应波长范围 (雪崩 光敏二极管) $\lambda_L - \lambda_H$	(88)	直流维持电流 I_H	(101)
峰值响应波长 (雪崩 光敏二极管) λ_p	(88)	通态浪涌 (不重复) 电流 I_{TSM}	(102)
结电容 C_j	(88)	反向重复峰值电流 I_{BRM}	(103)
上升时间 t_r	(88)	反向重复平均电流 $I_{BB(AV)}$	(103)
下降时间 t_f	(88)	反向不重复平均电流 $I_{BS(AV)}$	(103)
1.4.3 光耦合器参数		擎住电流 I_L	(103)
正向压降 V_p	(89)	控制极正向峰值电压 V_{POM}^*	(104)
击穿电压 $V_{(BB)}$	(89)	控制极反向峰值电压 V_{EGM}^*	(105)
正向电流 I_F	(89)	控制极触发直流电压 V_{GT}	(105)
反向电流 I_R	(90)	控制极不触发直流电压 V_{GD}^*	(106)
集电极-发射极 反向击穿电压 $V_{(BB)OBO}$	(90)	控制极正向峰值电流 I_{POM}^*	(106)
集电极-发射极饱和压降 $V_{OB(sat)}$	(90)	控制极反向直流电流 I_{EG}^*	(106)
反向截止电流 I_{OBO}	(91)	控制极触发直流电流 I_{GT}	(107)
电流传输比静态值 $h_{F(t_{tr})}, h_F, CTR$	(91)	控制极不触发直流电流 I_{GD}	(107)
输入-输出电容 $C_{i\circ}$	(91)	控制极控制开通时间 t_{gt}	(107)
输入与输出之间的绝缘电阻 r_i	(92)	控制极控制关断时间 (可关断 阀流管的) t_{gs}	(108)
		电路换向时间:	
		电路换向恢复时间 t_f	(109)
		控制极控制延迟时间 $t_{gd}(t_d)$	(110)
		控制极控制上升时间 $t_{gr}, (t_r)$	(110)

4 电子元器件参数计量测试大全

反向恢复时间 (反向阻断 闸流管的) t_{rr}	(110)	反向传输系数 S_{12}	(182)
通态电流临界上升率 di/dt	(110)	正向传输系数 S_{21}	(183)
换向电压临界上升率 (双向闸流管的) dv/dt (c)	(111)	输出反射系数 S_{22}	(184)
断态电压临界上升率 dv/dt	(111)	共基极输出电容 $C_{221} (C_{ob})$	(184)
恢复电荷 Q_r	(113)	集电极-基极电容 C_c	(185)
热阻 R_{th}	(114)	延迟时间 t_d	(185)
瞬态热阻抗 $Z_{(th)}$	(116)	上升时间 t_r	(185)
控制极峰值功率 P_{oM}	(117)	存储时间 t_s	(185)
控制极平均功率 $P_{o(Av)}$	(117)	下降时间 t_f	(185)
1.6 双极型晶体管参数			开通时间 t_{on}	(185)
1.6.1 直流参数			关断时间 t_{off}	(185)
基极-发射极电压 V_{BE}	(120)	集电极时间常数 $r_{bb} C_o$	(186)
基极-发射极正向电压 V_{BEP}	(121)	特征频率 f_T	(187)
基极-发射极饱和电压 $V_{BE(sat)}$	(121)	最高振荡频率 f_{max}	(188)
集电极-发射极饱和电压 $V_{CE(sat)}$	(122)	正向自动增益控制电压 V_{Aeo}	(188)
集电极-基极截止电流 I_{CBO}	(123)	正向自动增益控制电流 I_{Aeo}	(189)
发射极-基极截止电流 I_{EBO}	(123)	噪声系数 F	(189)
集电极-发射极截止电流 $I_{CEO}, I_{CER}, I_{OES},$ I_{OEX}	(124)	负载失配允许电压驻波比 S_p	(143)
共发射极正向电流传输比 $h_{21s} (h_{FE})$	(125)	功率增益 G_p	(144)
1.6.2 交流参数			输出功率 P_o	(145)
共发射极小信号短路 输入阻抗 $h_{11s} (h_{ie})$	(126)	振荡功率 P_{osc}	(146)
共发射极小信号短路 电流放大系数 $h_{21s} (h_{fe})$	(126)	谐波失真系数 K_{Fn}	(147)
共发射极小信号开路 反向电压传输比 h_{12s}	(127)	混频功率增益 G_{mix}	(148)
共发射极小信号开路输出导纳 h_{22s}	(127)	集电极效率 η_o	(148)
共发射极小信号短路 输入阻抗实部 $R_o (h_{11s})$	(128)	1.6.3 极限参数		
共发射极小信号短路输入导纳 $Y_{11s} (Y_{ie})$	(129)	集电极-基极击穿电压 $V_{(BB)OBO}$	(149)
共发射极小信号短路 反向传输导纳 $Y_{12s} (Y_{re})$	(129)	发射极-基极击穿电压 $V_{(BB)EBO}$	(149)
共发射极小信号短路 正向传输导纳 $Y_{21s} (Y_{re})$	(130)	集电极-发射极击穿电压 $V_{(BB)CEO},$ $V_{(BB)OEB}, V_{(BB)OEE}, V_{(BB)OEX}$	(150)
共发射极小信号短路 输出导纳 $Y_{22s} (Y_{oe})$	(130)	维持电压 $V_{CEO(sus)}, V_{CEB(sus)}$	(150)
输入反射系数 S_{11}	(130)	直流安全工作区 SOA (直流)	(151)

晶体三极管 $E-B$ 正向变化量 ΔV_{BE} (157)	传输导纳 Y_{rs}, Y_{rs}, Y_{12s} (172)
集电极-发射极漏电流变化率		小信号短路正向传输导纳 Y_{21}, Y_{rs} (172)
集电极-基极漏电流变化率		小信号短路正向跨导 g_{rs}, g_{os} (172)
$\Delta I_{CEO}, \Delta I_{CBO}$ (158)	小信号短路输出导纳 Y_{12s}, Y_{os} (173)
共发射极电流放大系数变化量 Δh_{FE} (158)	输入 S 参数 (共栅、共源 输入反射系数) S_{11} (173)
1.6.4 硅稳流三极管参数		输出 S 参数 (共栅、共源 输出反射系数) S_{12} (173)
稳定电流 I_s (158)	正向 S 参数 (共栅、共源 正向传输系数) S_{21} (174)
动态阻抗 Z_d (158)	反向 S 参数 S_{22} (174)
极限电压 V_L (159)	共源功率增益 G_{PS} (174)
击穿电压 $V_{(BR)}$ (159)	等效输入噪声电压 V_n (174)
电流温度系数 α_i (159)	噪声系数 F (175)
1.7 场效应晶体管参数		开启时间 t_{on} (175)
1.7.1 直流参数		关断时间 t_{off} (176)
栅-源 (直流) 电压 V_{GS} (162)	开启延迟时间 $t_{d(on)}$ (176)
栅-源截止电压 $V_{GS(off)}$ (162)	关断延迟时间 $t_{d(off)}$ (176)
栅-源阈电压 $V_{GS(th)}, V_{GS(t0)}$ (163)	上升时间 t_r (176)
漏-源短路时的栅-源击穿电压		下降时间 t_f (176)
$V_{(BR)GSS}$ (163)	1.7.3 其它参数
漏-源击穿电压 $V_{(BR)DB}$ (163)	栅源电压差 $ V_{GS1}-V_{GS2} $ (176)
栅-源击穿电压		栅源电压差温度漂移
$V_{(BR)GS}, V_{(BR)GSX}$ (164)	$\Delta V_{GS1}-V_{GS2} /\Delta T$ (177)
漏-源通态电压 $V_{DS(on)}$ (164)	跨导温度漂移 $\Delta g_{rs}/\Delta T$ (177)
漏极 (直流) 电流 I_D (165)	栅源短路时漏极电流比 I_{DSS1}/I_{DSS2} (178)
漏极截止电流 $I_{D(OSF)}$ (165)	栅源截止电压比
零栅压时的漏极电流 I_{DSS} (165)	$V_{GS(off)1}/V_{GS(off)2}$ (178)
栅极电流 I_g (166)	跨导比 g_{rs1}/g_{rs2} (178)
漏-源短路时的栅极截止电流 I_{oss} (166)	2 集成电路参数
栅极漏泄电流 I_{gs} (166)	2.1 数字集成电路参数
源极开路时的栅极截止电流 I_{gDO} (167)	2.1.1 TTL 电路参数
反向栅极电流 I_{GR} (167)	输入钳位电压 V_{IK} (183)
静态漏-源通态电阻 $r_{DS(on)}$ (167)	输出高电平电压 V_{OH} (183)
漏-源断态电阻		输出高电平电压 (双扩展端)
$r_{DS(Off)}, r_{DS(OSF)}, r_{DS(OSP)}$ (168)	$V_{OH(X)}$ (184)
1.7.2 交流参数		输出高电平电压 (单扩展端)
通态漏-源电阻 (在小信号条件下) $r_{ds(on)}$		$V_{OH(X)}$ (184)
$r_{DS(on)}, r_{DS(OS)}$ (168)	输出低电平电压 V_{OL} (184)
小信号短路输入电容 C_{11ss}, C_{iss} (168)	输出低电平电压 (双扩展端)
小信号短路输出电容 C_{22ss}, C_{oss} (169)	$V_{OL(X)}$ (185)
共源极组态短路输出电导 g_{os}, g_{oss} (169)	输出低电平电压 (单扩展端)
小信号短路反馈电容 C_{12ss}, C_{rss} (170)	
短路输入导纳 y_{is}, Y_{is}, Y_{11s} (171)	
小信号短路反向		

$V_{OL}(x)$(185)
扩展器导通压电 (双扩展端)	
$V_{xx(on)}$(185)
扩展器导通电压 (单扩展端)	
$V_x(on)$(186)
输出管 $B-E$ 结压电 V_{BEQ}(186)
输入电流 I_I(187)
输入高电平电流 I_{IH}(187)
输入低电平电流 I_{IL}(187)
正向阈值电压下的输入电流 I_{IT+}(188)
负向阈值电压下的输入电流 I_{IT-}(188)
扩展端电流 (双扩展端) I_x(189)
扩展端电流 (单扩展端) I_x(189)
扩展器导通电流 (双扩展端)	
$I_{R(ON)}$(190)
扩展器截止电流 (双扩展端)	
$I_{x(off)}$(190)
扩展器截止电流 (单扩展端)	
$I_{x(off)}$(190)
输出短路电流 I_{os}(191)
输出截止态电流 $I_{o(off)}$(191)
输出高阻态时高电平电流 I_{OZB}(191)
输出高阻态时低电平电流 I_{OZL}(192)
电源电流 I_{co}(192)
输出高电平时电源电流 I_{COH}(193)
输出低电平时电源电流 I_{COL}(193)
建立时间 t_{SU}(193)
保持时间 t_H(194)
输出由高电平到低电平	
传输延迟时间 t_{PHL}(194)
输出由低电平到高电平	
传输延迟时间 t_{PLH}(195)
输出由高阻态到高电平允许时间	
$t_{on(ZB)}$(195)
输出由高阻态到低电平允许时间	
$t_{op(ZL)}$(196)
输出由高电平到高阻态禁止时间	
$t_{dis(HB)}$(196)
输出由低电平到高阻态禁止时间	
$t_{dis(LB)}$(197)
输出脉冲宽度 t_{wo}(197)
最高时钟频率 f_{max}(198)

2.1.2 HTL 电路参数

输出高电平电压 V_{OH}(198)
输出高电平电压 (扩展端) $V_{oH(x)}$(198)
输出低电平电压 V_{OL}(199)
输出低电平电压 (扩展端) $V_{oL(x)}$(199)
扩展器正向电压 V_F(200)
输出截止态电压 $V_{o(off)}$(200)
输入高电平电流 I_{IH}(200)
输入低电平电流 I_{IL}(201)
扩展器反向电流 I_R(201)
输出短路电流 I_{os}(201)
输出截止态电流 $I_{o(off)}$(202)
电源电流 I_{co}(202)
输出高电平时电源电流 I_{COH}(202)
输出低电平时电源电流 I_{COL}(203)
输出由高电平到低电平	

 传输延迟时间 t_{PHL} (203)

输出由低电平到高电平	
传输延迟时间 t_{PLH}(204)
输出脉冲宽度 t_{wo}(204)
最高时钟频率 f_{max}(205)

2.1.3 ECL 电路参数

输出高电平电压 V_{OH}(205)
输出高电平阈值电压 V_{OHT}(205)
输出低电平电压 V_{OL}(206)
输出低电平阈值电压 V_{OLT}(206)
输入高电平电流 I_{IH}(207)
输入低电平电流 I_{IL}(207)
电源电流 I_{EE}(207)
建立时间 t_{SU}(208)
保持时间 t_H(208)
输出由高电平到低电平	

 传输延迟时间 t_{PHL} (209)

输出由低电平到高电平	
传输延迟时间 t_{PLH}(209)
输出由高电平到低电平转换时间 t_{TBL}(210)
输出由低电平到高电平转换时间 t_{TLH}(210)
最高时钟频率 f_{max}(210)

2.1.4 CMOS 电路参数

输入高电平电压 V_{IH}(211)
输入低电平电压 V_{IL}(211)
双向开关控制端输入低电平电压	

V_{ILG}	(212)	双向开关频率响应 f_B	(225)
输入正向阈值电压 V_{IT+}	(212)	双向开关截止态串扰频率 f_{ro}	(226)
输入负向阈值电压 V_{IT-}	(213)	双向开关交叉串扰频率 f_o	(226)
滞后电压 ΔV_z	(213)	输入电容 C_I	(226)
双向开关控制信号对		双向开关谐波失真度 THD	(227)
输出的串扰电压 V_o	(213)	2.1.5 双极型随机存储器参数	
输出高电平电压 V_{oH}	(214)	输入钳位电压 V_{IK}	(227)
输出低电平电压 V_{oL}	(214)	输出高电平电压 V_{oH}	(228)
输入高电平电流 I_{IH}	(214)	输出低电平电压 V_{oL}	(228)
输入低电平电流 I_{IL}	(215)	输入高电平电流 I_{IH}	(229)
输出高电平电流 I_{oH}	(215)	输入低电平电流 I_{IL}	(229)
输出低电平电流 I_{oL}	(216)	输出短路电流 I_{os}	(230)
输出高阻态时高电平电流 I_{OZH}	(216)	输出截止态电流 $I_{O(OFF)}$	(230)
输出高阻态时低电平电流 I_{OZL}	(217)	输出高阻态时高电平电流 I_{OZH}	(230)
双向开关截止电流 I_{OFF}	(217)	输出高阻态时低电平电流 I_{OZL}	(231)
电源电流 I_{DD}	(218)	输出高电平时电源电流 I_{OOGH}	(231)
双向开关导通电阻 R_{ON}	(218)	输出低电平时电源电流 I_{OOL}	(232)
双向开关各路间导通电阻差 ΔR_{ON}	(219)	电源电流 I_{SS}	(232)
动态功耗 P_o	(219)	写地址建立时间 $t_{SU(W4)}$	(232)
输入脉冲上升时间 t_r	(219)	写恢复时间 $t_{rec(w)}$	(233)
输入脉冲下降时间 t_f	(220)	写脉冲最小宽度 $t_{w\min}$	(233)
脉冲宽度 t_w	(220)	地址取数时间 $t_a(A)$	(233)
建立时间 t_{SU}	(221)	片选取数时间 $t_a(s)$	(234)
保持时间 t_h	(221)	读取数时间 $t_a(R)$	(234)
输出由高电平到低电平		读恢复时间 $t_{rec(R)}$	(234)
传输延迟时间 t_{PLH}	(222)	2.1.6 MOS 随机存储器参数	
输出由低电平到高电平		输出高电平电压 V_{oH}	(234)
传输延迟时间 t_{PLH}	(222)	输出低电平电压 V_{oL}	(235)
输出由高阻态到高电平		输入负载电流 I_{LI}	(235)
允许时间 $t_{on(ZH)}$	(222)	输出高阻态时高电平电流 I_{OZH}	(236)
输出由高阻态到低电平		输出高阻态时低电平电流 I_{OZL}	(236)
允许时间 $t_{on(ZL)}$	(223)	工作状态时 V_{DD} 电源电流 I_{DD}	(237)
输出由高电平到高阻态		工作状态时 V_{cc} 电源电流 I_{cc}	(237)
禁止时间 $t_{dis(HZ)}$	(223)	工作状态时 V_{BB} 电源电流 I_{BB}	(237)
输出由低电平到高阻态		维持状态时 V_{DD} 电源电流 I_{DDS}	(238)
禁止时间 $t_{dis(LZ)}$	(224)	维持状态时 V_{cc} 电源电流 I_{ccS}	(238)
输出由高电平到低电平		维持状态时 V_{BB} 电源电流 I_{BBS}	(239)
转换时间 t_{TBL}	(224)	地址取数时间 $t_a(A)$	(239)
输出由低电平到高电平		片选取数时间 $t_a(s)$	(239)
转换时间 t_{TLH}	(224)	读周期时间 t_{CR}	(240)
最高时钟频率 f_{max}	(225)	写周期时间 t_{CW}	(240)
双向开关控制端最高重复频率 f_{os}	(225)	读改写周期时间 t_{CBMN}	(240)

刷新周期时间 t_{CBP} (241)	全功率带宽 f_{BWP} (258)
输入电容 C_I (241)	增益带宽乘积 $G \cdot BW$ (258)
输出电容 C_o (241)	单位增益带宽 f_{BWG} (259)
2.1.7 微处理器及外围接口电路参数		相位余量 ϕ_s (259)
输出高电平电压 V_{OH} (242)	2.2.2 线性放大器参数	
输出低电平电压 V_{OL} (242)	静态功耗 P_D (259)
输入高电平电流 I_{IH} (242)	输入阻抗 Z_i (260)
输入低电平电流 I_{IL} (242)	输出阻抗 Z_o (260)
输出高阻态时高电平电流 I_{OZH} (243)	带宽 BW (260)
输出高阻态时低电平电流 I_{OZL} (243)	截止频率 f_o (261)
工作状态时电源电流 I_{DD} (243)	相移 $\Delta\phi$ (261)
数据输出延迟时间 $t_{D(Q)}$ (243)	电压增益 A_v (262)
地址输出延迟时间 $t_{D(A)}$ (244)	电流增益 A_i (262)
输入电容 C_I (244)	额定功率增益 G_p (262)
输出电容 C_o (244)	增益平坦度 ΔA_v (263)
2.2 模拟集成电路参数		噪声系数 N_f (263)
2.2.1 运算放大器参数		有效输入噪声温度 T_e (263)
输入失调电压 V_{IO} (245)	等效输入噪声电压 V_{NI} (264)
输入失调电压温度系数 α_{VIO} (246)	输入动态范围 D_i (264)
输入失调电流 I_{IO} (246)	2.2.3 稳压器参数	
输入失调电流温度系数 α_{IIO} (247)	电压调整率 S_v (264)
输入偏置电流 I_{IB} (247)	输入调整系数 S_{iP} (265)
输入偏置电流温度系数 α_{IB} (248)	输入稳定系数 S_{rS} (266)
静态功耗 P_D (248)	电流调整率 S_i (266)
开环电压增益 A_{VD} (249)	电流稳定系数 S_{IS} (266)
共模抑制比 K_{COMR} (249)	纹波抑制比 S_{riP} (267)
输出电压转换速率 S_r (250)	输出电压温度系数 S_r (267)
建立时间 t_{set} (251)	输出电压长期稳定性 S_t (268)
电源电压抑制比 K_{SVB} (252)	输出噪声电压 V_N (268)
电源电压灵敏度 K_{SVS} (252)	静态电流 I_D (269)
开环差模输入电阻 R_{ID} (252)	输出短路电流 I_{OS} (269)
开环输出电阻 R_{os} (253)	输出阻抗 Z_o (269)
输出峰-峰电压 V_{OPP} (253)	输入电压变化瞬态响应时间 t_1 (270)
最大共模输入电压 V_{ICM} (254)	负载电流瞬态响应时间 t_2 (270)
共模输入电压范围 V_{ICR} (254)	基准电压 V_{REF} (271)
最大差模输入电压 V_{IDM} (255)	2.2.4 时基电路参数	
最大输出电流 I_{OM} (255)	复位电压 V_R (271)
输出短路电流 I_{os} (255)	复位电流 I_R (271)
通道分离度 CSR (256)	触发电压 V_{TR} (272)
等效输入噪声电压 V_N (256)	触发电流 I_{TR} (272)
响应时间 $t_{iot}, t_d, t_r, t_s, t_{ris}$ (257)	阈值电压 V_T (273)
开环带宽 f_{BW} (257)	阈值电流 I_T (273)

控制端电压 V_o	(274)	建立时间 t_s	(285)
静态电源电流 I_{oc}	(274)	2.2.8 模拟开关参数	
最高振荡频率 f_{max}	(274)	模拟电压工作范围 V_{AR}	(285)
频率偏差 Δf	(275)	导通电阻 R_{ON}	(286)
电源电压灵敏度 K_{SVS}	(275)	导通电阻路差 ΔR_{ON}	(286)
振荡频率温度系数 α	(276)	截止态输出漏电流 $I_{O(OPF)}$	(287)
2.2.5 模拟锁相环参数		截止态输入漏电流 $I_{I(OPF)}$	(287)
跟踪输入电压 $V_{I(TRA)}$	(276)	导通态漏电流 $I_{OI(ON)}$	(288)
中心频率最大值 f_{OM}	(276)	开启时间 t_{ON}	(288)
中心频率偏离 Δf_o	(277)	关断时间 t_{OFF}	(289)
中心频率温度系数 α_{f_o}	(277)	通道转换时间 t_T	(289)
中心频率电源电压灵敏度 $K_{SVS(f_o)}$	(277)	截止态隔离度 K_{OIRR}	(289)
三角波输出平均电压 V_{oAVT}	(278)	截止态馈通频率 f_p	(290)
三角波输出峰-峰电压 V_{OPPT}	(278)	导通态串扰衰减 $\alpha_{X(ON)}$	(290)
方波占空系数 q	(278)	输入串扰衰减 $\alpha_{X(IN)}$	(290)
解调输出直流电压 V_{ODD}	(279)	控制信号串扰 V_{oA}	(291)
解调输出最大峰-峰电压 V_{OPPD}	(279)	最高控制频率 f_{OM}	(291)
解调输出电压幅度 V_{osWD}	(279)	2.3 接口集成电路参数	
解调输出全谐波失真度 THD	(280)	2.3.1 电压比较器参数	
解调输出调幅抑制比 AMR	(280)	输入失调电压 V_{IO}	(291)
2.2.6 数字锁相环参数		输入失调电压温度系数 α_{VIO}	(292)
动态功耗 P_d	(281)	输入失调电流 I_{IO}	(292)
压控振荡器最高工作频率 f_{max}	(281)	输入失调电流温度系数 α_{IIO}	(293)
压控振荡器线性误差 E_L	(281)	输入偏置电流 I_{IB}	(293)
压控振荡器频率温度系数 α_{f_o}	(282)	静态功耗 P_D	(293)
解调输出端失调电压 V_{oo}	(282)	开环电压增益 A_{VD}	(294)
相位比较器交流输入电压灵敏度 K_{AVS}	(282)	共模抑制比 K_{COMR}	(295)
2.2.7 模拟乘法器参数		开环差模输入电阻 R_{ID}	(296)
满量程总误差 E_{tot}	(283)	开环输出电阻 R_{OS}	(296)
满量程总误差温度系数 α_{Etot}	(283)	最大共模输入电压 V_{ICM}	(296)
线性误差 E_L	(283)	最大差模输入电压 V_{IDM}	(297)
标度因子误差 E_K	(283)	输出高电平电压 V_{OH}	(297)
标度因子误差温度系数 α_{EK}	(283)	输出低电平电压 V_{OL}	(297)
馈通误差电压 V_{BF}	(284)	输出端吸收电流 I_{SI}	(298)
馈通误差电压温度系数 α_{VBF}	(284)	选通电流 I_{ST}	(298)
共模抑制比 K_{COMR}	(284)	响应时间 t_s	(298)
共模输入电压范围 V_{IOB}	(284)	选通延迟时间 t_{ST}	(299)
小信号带宽 BW	(284)	2.3.2 D/A 转换器参数	
1%矢量误差带宽 BW_v	(285)	失调 E_o	(299)
满功率带宽 BW_p	(285)	失调温度系数 α_{EO}	(300)
转换速率 S_a	(285)	增益误差 E_g	(300)

精度 E_A	(301)	输入钳位电压 V_{IX}	(315)
精度温度系数 α_{EA}	(302)	输出高电平电压 V_{OH}	(316)
线性误差 E_L	(302)	输出低电平电压 V_{OL}	(316)
线性误差温度系数 α_{EL}	(302)	输入电流 I_I	(316)
微分线性误差 E_{DL}	(303)	输入高电平电流 I_{IH}	(317)
微分线性误差温度系数 α_{EDL}	(303)	输入低电平电流 I_{IL}	(317)
顺从电压范围 V_{OCR}	(303)	输出短路电流 I_{os}	(318)
电源电压灵敏度 K_{SVS}	(303)	输出截止态电流 $I_{O(OFF)}$	(318)
功耗 P	(304)	输出高电平时电源电流 I_{OON}	(318)
2.3.3 A/D 转换器参数		输出低电平时电源电流 I_{OOL}	(319)
零点误差 E_z	(304)	达林顿晶体管集电极截止电流 I_{OEX}	(319)
零点误差温度系数 α_{zz}	(305)	达林顿晶体管截止态输入电流	
增益误差 E_g	(305)	$I_{I(OFF)}$	(319)
增益误差温度系数 α_{gg}	(306)	达林顿晶体管导通态输入电压 $V_{I(ON)}$	(320)
精度 E_A	(306)	达林顿晶体管静态电流放大倍数 h_{FB}	(320)
精度温度系数 α_{EA}	(307)	达林顿晶体管C-E结饱和压降 V_{sat}	(321)
线性误差 E_L	(307)	钳位二极管正向电压 V_F	(321)
线性误差温度系数 α_{EL}	(307)	钳位二极管反向电流 I_B	(321)
微分线性误差 E_{DL}	(308)	输出由高电平到低电平	
微分线性误差温度系数 α_{EDL}	(308)	传输延迟时间 t_{PHL}	(321)
失码 MC	(308)	输出由低电平到高电平	
极性转换误差 E_P	(308)	传输延迟时间 t_{PLH}	(322)
电源电压灵敏度 K_{SVS}	(309)	输出由高电平到低电平转换时间 t_{THL}	(322)
功耗 P	(309)	输出由低电平到高电平转换时间 t_{TLE}	(323)
2.3.4 读出放大器参数		动态输出高电平电压 V_{OHD}	(323)
差分输入阈值电压 V_T	(310)	2.3.6 磁芯存储器驱动器参数	
共模输入启动电压 V_{ICP}	(310)	输入钳位电压 V_{IX}	(324)
输出高电平电压 V_{OH}	(311)	“流”输出截止态电压 $V_{(OFF)}$	(324)
输出低电平电压 V_{OL}	(311)	输出管C-E结饱和压降 V_{sat}	(324)
差分输入偏置电流 I_{IB}	(311)	输入电流 I_I	(325)
差分输入失调电流 I_{IO}	(312)	输入高电平电流 I_{IH}	(325)
输入电流 I_I	(312)	输入低电平电流 I_{IL}	(325)
输入高电平电流 I_{IH}	(312)	“源”集电极（集电极）输出截止态电流	
输入低电平电流 I_{IL}	(313)	$I_{(OFF)}$	(326)
输出短路电流 I_{os}	(313)	输出截止态时电源电流 $I_{O(OFF)}$	(326)
正电源电流 I_{OON}	(314)	输出导通态时电源电流 I_{OON}	(327)
负电源电流 I_{OOL}	(314)	输出由高电平到低电平	
输出由高电平到低电平		传输延迟时间 t_{PHL}	(327)
传输延迟时间 t_{PHL}	(314)	输出由低电平到高电平	
输出由低电平到高电平		传输延迟时间 t_{PLH}	(328)
传输延迟时间 t_{PLH}	(315)	输出由高电平到低电平转换时间 t_{THL}	(328)
2.3.5 外围驱动器参数		输出由低电平到高电平转换时间 t_{TLE}	(328)

2.3.7 显示驱动器参数

输入钳位电压 V_{IX}	(329)
输出钳位电压 V_{oX}	(329)
输出高电平电压 V_{oH}	(330)
输出低电平电压 V_{oL}	(330)
输出截止态电压 $V_{o(OFF)}$	(330)
输出导通态电压 $V_{o(ON)}$	(331)
输入电流 I_I	(331)
输入高电平电流 I_{IH}	(332)
输入低电平电流 I_{IL}	(332)
输出截止态电流 $I_{o(OFF)}$	(332)
输出导通态电流 $I_{o(ON)}$	(333)
电源电流 $I_{DD}(I_{BB}, I_{SS}, I_{BS})$	(333)
平均电源电流 $I_{oA(AV)}$	(333)
输出由高电平到低电平	
传输延迟时间 t_{PHL}	(334)
输出由低电平到高电平	
传输延迟时间 t_{PLH}	(334)
输出由高电平到低电平转换时间 t_{TBL}	(335)
输出由低电平到高电平转换时间 t_{TLH}	(335)
2.3.8 电平转换器参数	
输入钳位电压 V_{IX}	(336)
输入高电平电压 V_{IH}	(336)
输入低电平电压 V_{IL}	(336)
输出钳位电压 V_{oX}	(337)
输出高电平电压 V_{oH}	(337)
输出高电平阈值电压 V_{oHT}	(338)
输出低电平电压 V_{oL}	(338)
输出低电平阈值电压 V_{oLT}	(338)
输入电流 I_I	(339)
输入高电平电流 I_{IH}	(339)
输入低电平电流 I_{IL}	(339)
输出高电平电流 I_{oH}	(340)
输出低电平电流 I_{oL}	(340)
输出高阻态时高电平电流 I_{oZH}	(340)
输出高阻态时低电平电流 I_{oZL}	(341)
电源电流 $I_{DD}(I_{oA}, I_{SS})$	(341)
输出高电平时电源电流 I_{oAH}	(342)
输出低电平时电源电流 I_{oAL}	(342)
输出由高电平到低电平	
传输延迟时间 t_{PHL}	(342)
输出由低电平到高电平	

传输延迟时间 t_{PLH}	(343)
输出由高阻态到高电平允许时间 $t_{on(ZH)}$	(343)
输出由高阻态到低电平允许时间 $t_{on(ZL)}$	(344)
输出由高电平到高阻态	
禁止时间 $t_{dis(ZH)}$	(344)
输出由低电平到高阻态	
禁止时间 $t_{dis(ZL)}$	(344)
输出由高电平到低电平转换时间 t_{TBL}	(345)
输出由低电平到高电平转换时间 t_{TLH}	(345)
输入电容 C_i	(346)
2.3.9 线电路参数	
输入钳位电压 V_{IX}	(346)
差分输入阈值电压 V_p	(347)
输入正向阈值电压 V_{r+}	(347)
输入负向阈值电压 V_{r-}	(347)
输出高电平电压 V_{oH}	(348)
输出高电平阈值电压 V_{oHT}	(348)
输出低电平电压 V_{oL}	(348)
输出低电平阈值电压 V_{oLT}	(349)
输入高电平电流 I_{IH}	(349)
输入低电平电流 I_{IL}	(350)
输出短路电流 I_{os}	(350)
输出截止态电流 $I_{o(OFF)}$	(350)
输出导通态电流 $I_{o(ON)}$	(351)
输出高阻态电流 I_{oZ}	(351)
输出高电平时电源电流 I_{oAH}	(351)
输出低电平时电源电流 I_{oAL}	(352)
输出由高电平到低电平	
传输延迟时间 t_{PHL}	(352)
输出由低电平到高电平	
传输延迟时间 t_{PLH}	(353)
输出由高阻态到高电平	
允许时间 $t_{on(ZH)}$	(353)
输出由高阻态到低电平	
允许时间 $t_{on(ZL)}$	(353)
输出由高电平到高阻态	
禁止时间 $t_{dis(ZH)}$	(354)
输出由低电平到高阻态	
禁止时间 $t_{dis(ZL)}$	(354)
输出由高电平到低电平转换时间 t_{TBL}	(355)
输出由低电平到高电平转换时间 t_{TLH}	(355)